

مدل‌سازی اثر جریان‌های جزر و مدی بر تغییرات چگالی خلیج فارس با استفاده از مدل مایک

دریافت مقاله: ۹۸/۲/۱
پذیرش نهایی: ۹۸/۱۲/۳
صفحات: ۲۷۹-۲۹۲

امید ماه‌پیکر: دانشجوی دکتری تخصصی فیزیک دریا، دانشگاه علوم و فنون دریایی خرمشهر، خرمشهر، ایران^۱

Email: omidd8@gmail.com

محمد رضا خلیل‌آبادی: استادیار فیزیک دریا، مجتمع علوم و فناوری هوا دریا، دانشگاه صنعتی مالک اشتر، شیراز، ایران

Email: rezakhallilabadi@gmail.com

چکیده

الگوی جریان کلی خلیج فارس یک گردش پاد ساعتگرد است که نیروهای جزر و مد، تنفس باد و گرما-شوری آن را تحت تأثیر قرار می‌دهند. با وجود این که نیروی جزر و مد بیشترین سهم را در مقادیر سرعت جریان ایفا می‌کند ولی در بلندمدت دو نیروی دیگر بیشتر اثرگذار هستند. جزر و مد و چگالی پارامترهایی هستند که در بحث دریانوردی و کشتی‌رانی خصوصاً هنگام ورود کشتی‌ها به سواحل و مناطق کم‌عمق در جهت تعیین آبخور کشتی‌ها اهمیت فراوانی دارند. در این مطالعه با استفاده از مدل مایک که بر اساس حل سه‌بعدی معادلات ناویر استوکس، با فرض تراکم‌ناپذیری، تقریب بوزینسکی و فشار هیدرولاستاتیک استوار است، جریانات خلیج فارس با در نظر گرفتن نیروهای جزر و مد، باد و گرما-شوری مدل‌سازی گردید. پس از پایداری مدل، اثرات نیروی جزر و مدی بر توزیع افقی و قائم چگالی طی مدت یک سال بررسی شد. نتایج نشان داد که وجود جزر و مد باعث می‌شود جهت‌گیری حرکت جریان منظم‌تر باشد و در غیاب آن اثر باد بر روی چگالی خصوصاً در فصل سرد منجر به تلاطم در سطح آب می‌شود. همچنین با حذف اثر جزر و مد سرعت جریان آب تا ۷۵٪ کاهش می‌یابد و چگالی آب یک تا دو کیلوگرم بر مترمکعب افزایش دارد. نیمرخ قائم چگالی نشان داد که خلیج فارس محیطی چگال‌گرا است و در فصل سرد نسبت به فصل گرم چگال‌گرایی آن قوی‌تر است. میزان تأثیر نیروها نیز در نواحی مختلف خلیج فارس یکسان نیست؛ به طوری که اثرات جزر و مد بر تغییر چگالی در تنگه هرمز محسوس‌تر و با حرکت به سمت داخل خلیج فارس از شدت اثر آن کاسته می‌شود.

کلید واژگان: خلیج فارس، مدل‌سازی، مایک، ۳، چگالی، جزر و مد

۱. نویسنده مسئول: خرمشهر، دانشگاه علوم و فنون دریایی خرمشهر، گروه فیزیک دریا

مقدمه

در نواحی فلات قاره، دمای آب و لایه‌بندی، فاکتورهای مهمی در توزیع قائم خواص فیزیکی آب، گردش آب در مقاطع عرضی و بازدهی شارهای تبادلی هوا-دریا به شمار می‌روند. سطوح تلاطمی ناحیه فلات قاره و ضخامت لایه‌ی مرزی همچنین تحت تأثیر فرآیندهای دیگر مثل جزر و مد فشارگرا (سطحی) و چگال‌گرا (داخلی) هستند. جزر و مد فشارگرا مستقیماً توسط نیروی گرانش ماه و خورشید ایجاد می‌شود و تحت فعل و انفعالاتی با بستر از طریق ایجاد جزر و مد داخلی و اتلاف لایه‌ی مرزی بستر تضعیف می‌شود (Egbert and Ray¹, ۲۰۰۱؛ Gert and Kanze², ۲۰۰۷). جزر و مد فشارگرا، عمدها جریانی در راستای عمق آب به صورت یکنواخت و با نوسانات دمایی کوچک ایجاد می‌کند. با استفاده از اثرات اتلافی و غیرخطی، می‌توان جریانات پسماند³ و اختلاط قائم القایی⁴ تحت مقیاس زمانی جزر و مد را به دست آورد.

خليج فارس يك حوضه کم عمق و نيمه بسته است که طول آن در حدود ۱۰۰۰ کيلومتر، بيشينه عرض آن ۳۵۰ کيلومتر و متوسط عمق آن ۴۰ متر است و از طريق تنگه هرمز که دارای بيشينه عمق ۱۲۰ متر است، به خليج عمان ارتباط پيدا می‌کند (پاوس⁵ و همكاران، ۲۰۱۲). اين خليج از سمت شمال غربی توسط فلات ايران، شمال-شرقی توسط کوههای زاگرس و جنوب غربی توسط بیابان عربستان محصور شده است. تبخیر بالا در خليج فارس منجر به شكل گيری آب شور شده و اين سبب خروج آب شور از خليج فارس به سمت دريای عمان و جايگريينی آن با آبهای سطحي اقيانوس هند و دريای عمان می‌شود.

باد غالب در خليج فارس عمدها باد شمال غربی با متوسط سرعت سالانه ۵ متر بر ثانیه است. اين باد که شمال ناميده می‌شود در فصل تابستان منظم و ناپيوسته می‌وزد در حالی که در فصل زمستان به طور پيوسته اتفاق می‌افتد. اين باد اصلی با دو باد دیگر به نامهای قوس و سهيل نيز همراه است. باد ناشی، از سمت شمال شرقی می‌تواند به مدت ۳ تا ۵ روز در فصل زمستان بر روی سواحل خوزستان بوزد. در نزديکی تنگه هرمز و به طرف دريای عمان بادها بيشتر تحت تأثیر چرخه موسمون هستند به طوری که تنگه هرمز به عنوان مرز بين دو سистем جوی عمل می‌کند (Renyolds⁶, ۱۹۹۳).

آهنگ بارش در خليج فارس بسيار ضعيف است و مقداری در حدود ۷ سانتيمتر بر سال دارد که اين مقدار يك چهارم مقدار ورودی رودخانه‌ها به اين خليج است. مقدار تبخیر بسيار متغير است و مقاديری از ۱۴۴ تا ۵۰۰ سانتي متر در سال برای آن گزارش شده است (Renyolds, ۱۹۹۳). كسرى آب ناشی از اختلاف بين تبخیر و بارش نشان می‌دهد که خليج فارس يك حوضجه منفي است و اين كسرى آب از طريق ورود آبهای سطحي اقيانوس هند جبران می‌شود. اين توده‌های آب دمایی در حدود ۲۳ تا ۲۶ درجه سانتي گراد در زمستان و ۳۰ تا ۳۲ درجه سانتي گراد در تابستان دارند و محدوده شوري آنها ۳۶/۵ تا ۳۷/۲ PSU است.

¹ Egbert and Ray

² Garrett and Kunze

³ residual currents

⁴ induce vertical mixing

⁵ Pous

⁶ Reynolds

آب چگال ($\sigma_t = 29/5$)، در فصل زمستان صرفاً در بخش شمالی و اوایل تابستان در بخش جنوب‌غربی شکل می‌گیرد؛ و این در حالی است که در تابستان آب بهشت شور، گرم و شناور در بخش‌های جنوب‌غربی وجود دارد الهگاران^۱ و همکاران، ۲۰۱۶). عامل اول گردش در خلیج فارس، باد غالب از سمت شمال‌غربی و شارهای شناوری و تکانه باد هستند. سپس نیروهای گرما-شوري و در درجه سوم جزر و مد نقش مهمی در این گردش دارد (پاوس و همکاران، ۲۰۱۵). گردش کلی جریان در خلیج فارس چرخندی^۲ است و متشکل از جریان شمال‌غربی سواحل ایرانی، از تنگه هرمز در سمت شمالی حوضه (با سرعت بزرگ‌تر از ۱۰/۱ متر بر ثانیه) (تایپل و هوگان^۳، ۲۰۱۰) و همچنین یک جریان به سمت جنوب‌شرقی خلیج فارس در قسمت جنوبی آن است (سویفت و باور^۴، ۲۰۰۳).

خلیج فارس بخشی بسیار مهم از آب‌های اقیانوسی جهان بهدلیل وجود منابع غنی نفت و گاز است (عزیزبور و همکاران، ۲۰۱۴) به عنوان یکی از شورترین آب‌های آزاد شناخته می‌شود (یائو و جائز^۵، ۲۰۱۰). این ویژگی باعث اهمیت جزر و مد و چگالی در بحث کشتی‌رانی و دریانوردی؛ به خصوص هنگام ورود کشتی‌های غولپیکر به مناطق کم‌عمق و پهلوگیری آن‌ها در اسکله‌ها برای تعیین آبخور کشتی می‌شود. در این مطالعه اثر نیروی جزر و مد بر تغییر چگالی خلیج فارس مورد بررسی قرار می‌گیرد. ابتدا چگالی خلیج فارس در حضور تمامی نیروها مدل شده است و سپس با حذف اثر جزر و مد و ثابت‌بودن سایر شرایط، چگالی در خلیج فارس در فصل گرم و سرد با حالت قبل مقایسه می‌شود و نقش سایر نیروها در تغییرات آن مورد بررسی قرار می‌گیرد.

کمپ^۶ و صدری نسب (۲۰۰۶) گردش در خلیج فارس را با استفاده از مدل عددی کوهیرنس مطالعه نمودند. نتایج آن‌ها نشان داد که یک گردش چرخندی در فصول بهار و تابستان وجود دارد که به گردابه‌هایی میان مقایس در فصول پاییز و زمستان تبدیل می‌شود. بورچارد^۷ (۲۰۰۹) به بررسی اثرات ترکیبی باد، جزر و مد و گرادیان‌های چگالی افقی روی لایه‌بندی در خورها و دریاهای ساحلی پرداخت. نتایج وی نشان داد که تداوم وزش باد به عنوان یک فرآیند ساحلی مهم تلقی می‌شود و گردش آبخورها با وزش‌های بادهای دور از ساحل افزایش می‌یابد. همچنین مقایسه با داده‌های میدانی تأیید کرد که بیشینه نزخ اتفاف حین مدد آب در نیمه‌ی بالای ستون آب رخ می‌دهد. تایپل و هوگان (۲۰۱۰) به مدل‌سازی گردش و گردابه‌ها در خلیج فارس پرداختند. در این مطالعه که با مدل HYCOM صورت گرفته است، تشکیل سه گردابه چرخندی نشان داده شده که به عنوان گردابه‌های سواحل ایرانی معروفی شده‌اند. یائو و جونز در (۲۰۱۰)، به مطالعه تشکیل توده آب و گردش در خلیج فارس و نیز تبادل آب با اقیانوس هند پرداختند. نتایج این تحقیق حاکی از آن است که گردابه‌هایی در خلیج فارس شکل می‌گیرد که اندازه معمولی آن‌ها در حالت کاملاً نمو یافته حدود ۱۰۰ کیلومتر است که این مقدار سه برابر شعاع تشکیل راسی محلی^۸ است. پاوس و همکاران (۲۰۱۵) مدلی برای گردش عمومی خلیج فارس و تنگه هرمز ارائه دادند و در این مدل تغییرات فصلی و سالانه پارامترهای فیزیکی مورد بررسی قرار گرفته است.

۱ L'Hegaret

۲ cyclonic

۳ Thoppil and Hogan

۴ Swift and Bower

۵ Yao and Johns

۶ Kampf

۷ Burchard

۸ local Rossby deformation radius

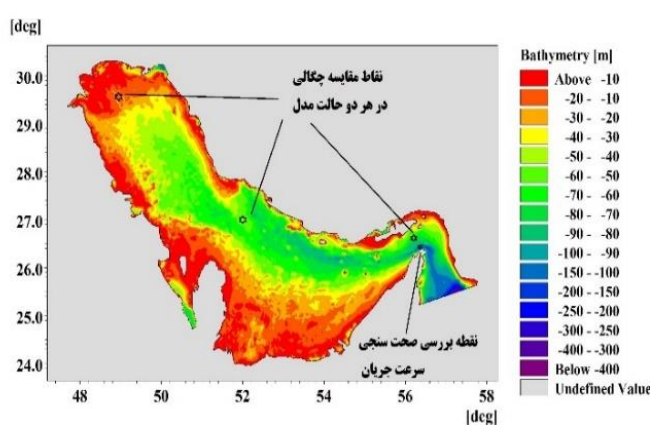
در ایران جوکار و لاری(۱۳۹۵) به بررسی جریان‌های جزر و مدی با استفاده از مدل MIKE 21 در خلیج فارس پرداختند. براساس نتایج آن‌ها، در محدوده مورد مطالعه، مولفه‌های جزر و مدی به دست آمده از مدل جهانی جزر و مد اقیانوسی در نواحی ساحلی و کم‌عمق تطابق دقت کمی با مولفه‌های جزر و مدی ایستگاه‌های ایستگاه‌های جزر و مدنیجی را نشان داد ولی در مناطق عمیق اختلاف کمتر مشاهده گردید.

روش تحقیق

در این تحقیق برای ایجاد شبکه محاسباتی، از داده‌های عمق‌سنجدی JEBCO با دقت حدود یک کیلومتر استفاده شده است. سپس در قسمت Mesh Generator نرم‌افزار MIKE، شبکه محاسباتی نامنظم و مثلثی مدل شامل ۴۳۳۸۳ المان و ۲۲۳۵۴ گره ساخته شد شکل(۱). در جهت کاهش زمان اجرای برنامه، المان‌ها در قسمت‌های عمیق دریای عمان بزرگ‌تر و در تنگه هرمز و خلیج فارس با دقت ۳-۲ کیلومتر در نظر گرفته شده‌اند. مرزهای محدوده‌ی مطالعاتی شامل دو مرز است که یکی در قسمت شرق واقع شده است و مرز اقیانوسی محسوب می‌شود به‌طوری‌که محدوده مدل‌سازی را به دریای آزاد متصل می‌کند و دیگری مرز رودخانه‌ای در قسمت شمال‌غربی خلیج فارس است که به عنوان تنها تأمین‌کننده آب شیرین خلیج فارس محسوب می‌شود. برای مقیاس قائم مدل نیز از دستگاه مختصات سیگما به تعداد ۵ لایه استفاده شده است. در مدل‌هایی که با یکی از روش‌های عددی المان محدود و یا تفاضل محدود اجرا می‌شوند، پایداری و همگرایی مدل به مشخصاتی همچون گام زمانی، فاصله گره‌های شبکه و غیره بستگی دارد. در مژوی هیدرودینامیک برنامه MIKE نیز شرط CFL برای پایداری به کار می‌رود که به صورت رابطه(۱) است.

$$CFL = (\sqrt{gh} + |u|) \frac{\Delta t}{\Delta x} + (\sqrt{gh} + |v|) \frac{\Delta t}{\Delta y} \quad \text{رابطه(۱)}$$

بدین منظور و با توجه به ابعاد مش و همچنین گام زمانی معادلات که بین ۱/۰ تا ۳۰ ثانیه است، مقدار CFL بحرانی ۰/۸ محاسبه شد که برای پایداری مدل مقادیر آن باید کمتر از این مقدار باشند.



شکل(۱). عمق‌سنجدی استفاده شده در مدل‌سازی و موقعیت نقاط بررسی صحت سنجدی جریان و مقایسه نقطه‌ای و نیم‌رخ قائم چگالی

مرز شرقی مدل به عنوان ارتباطدهنده خلیج فارس با آبهای اقیانوسی در نظر گرفته شده است. در این مرز، برای تغییرات تراز سطح آب از داده‌های پیش‌بینی تغییرات تراز سطح آب بندر جاسک در سایت مدیریت آبنگاری و امور جزر و مدي^۱ استفاده شده است. بازه زمانی داده‌های موجود از ابتدای سال ۲۰۱۴ تا پایان سال ۲۰۱۸ و با دقیقه ۳۰ دقت بود. دما و شوری نیز به صورت روزانه که از میانگین ۵۰ ساله داده‌های NOAA^۲ حاصل شده بود، با تکرار سالانه لحاظ شد. مرز رودخانه‌ای مدل نیز به صورت یک شار ورودی با دما و شوری متفاوت به حوضه خلیج فارس لحاظ شده است. دمای این مرز به صورت میانگین روزانه و شوری آن نیز به صورت ثابت برابر با ۵ PSU در نظر گرفته شده است. در مورد دبی رودخانه اروندرود که بزرگترین منبع آب شیرین خلیج فارس است، با توجه به عدم اندازه‌گیری دقیق آن تا به امروز، مطابق با مطالعات قبلی به صورت ثابت، $1400 \text{ m}^3/\text{s}$ در نظر گرفته شد (پاؤس و همکاران، ۲۰۱۵). از مهم‌ترین پارامترهای هواشناسی مؤثر در گردش جریان خلیج فارس باد و نرخ تبخیر هستند. تبخیر خود به عوامل دیگری از جمله دما، باد و رطوبت نسبی ارتباط دارد. داده‌های دما و باد به صورت روزانه و طی دوره ده‌ساله از سایت ERA Interim, Daily (ECMWF)^۳ با دقیقه ۵ مکانی یک درجه استخراج گردید و در نرم‌افزار MIKE Grid series ساخته و در مژول هیدرودینامیک به کار گرفته شد.

نتایج

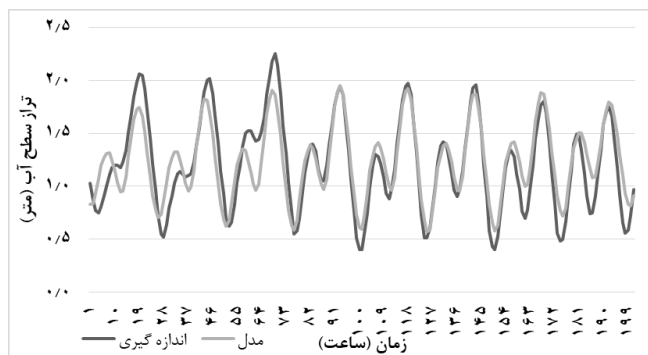
برای واسنجی مدل، ضریب ارتفاع زبری^۴ بستر نقش مهمی را تنظیم سرعت جریان ایفا می‌کند. این ضریب در تنظیم و کنترل سرعت جریان و دامنه و فاز جزر و مدي نمایان می‌شود. مدل به ازای ضرایب 0.013 ، 0.015 و 0.017 و 0.0377 متر اجرا گردید و به ازای ضریب 0.015 متر بهترین تطابق حاصل شد. پس از انتخاب مناسب‌ترین ضریب و اجرای مدل به مدت ۵ سال، داده‌های جزر و مدي با اندازه‌گیری‌های میدانی در بندر بوشهر (داده‌های ثبت‌شده توسط سازمان بنادر و دریانوردی) نیز مقایسه شد که نتیجه این مقایسه در شکل (۲) نشان داده شده است. همچنین برای صحتسنجی مدل، سرعت و جهت جریان مدل با داده‌های اندازه‌گیری در عمق ۵۰ متری حوالی تنگه هرمز (نقطه مشخص شده در شکل (۱)) به مدت ۶۰ ساعت مقایسه گردید که نتایج آن در اشکال (۳) و (۴) قابل مشاهده است. مقدار RMSE برای تغییرات تراز آب مقدار 0.2 متر و برای سرعت جریان مقدار 0.08 متر بر ثانیه به دست آمد.

1 <http://217.218.133.169/hydrography/Login.aspx?ReturnUrl=%2fhydrography%2fUser%2fExportPage.aspx>

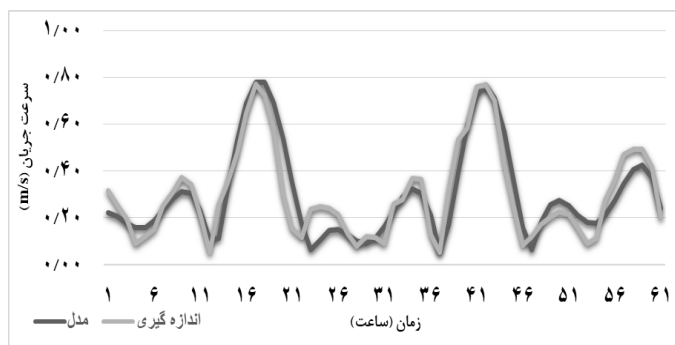
2 <https://www.nodc.noaa.gov/cgi-bin/OC5/SELECT/builder.pl>

3 <https://apps.ecmwf.int/datasets/data/interim-full-daily/levtype=sfc/>

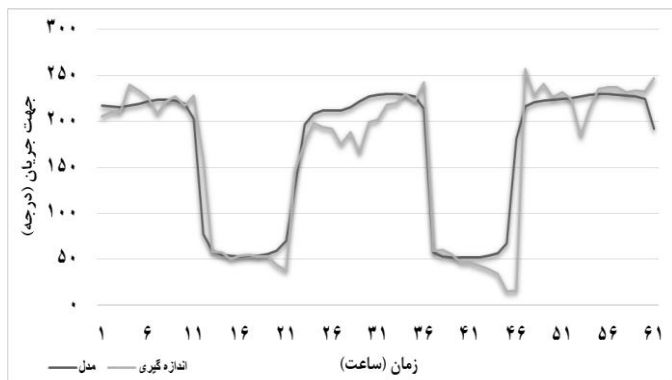
4 Roughness height



شکل(۲). مقایسه تغییرات تراز آب در بندر بوشهر (نتایج مدل و داده‌های اندازه‌گیری)

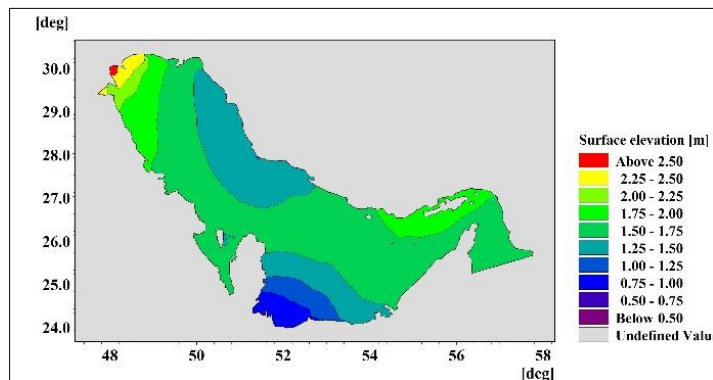


شکل(۳). مقایسه سرعت جریان با داده‌های اندازه‌گیری میدانی



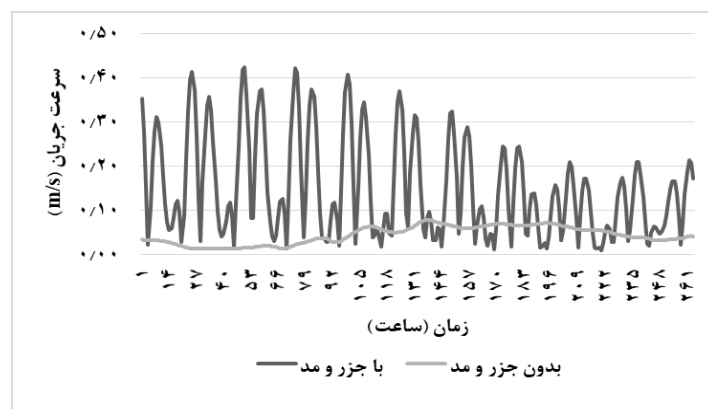
شکل(۴). مقایسه جهت جریان با داده‌های اندازه‌گیری میدانی

برای بررسی اثرات جریان جزر و مدی بر تغییرات چگالی مدل به مدت ۱۰ سال با اعمال نیروهای جزر و مد، گرما-شوری و باد اجرا گردید. سپس در سال یازدهم یک بار در حضور نیروی جزر و مد و یک بار بدون اعمال این نیرو، مدل اجرا شد و نتایج در فصول سرد و گرم استخراج و توزیع سطحی و نیمرخ چگالی مورد مقایسه قرار گرفت. در شکل(۵) تغییرات تراز سطح آب در خلیج فارس با اعمال جزر و مد نمایش داده شده است. تراز آب در غیاب جزر و مد به صورت ثابت ۱/۶۱ متر در نظر گرفته شد ولی تحت اثر وزش باد دچار نوسانات کوچکی می‌شود.



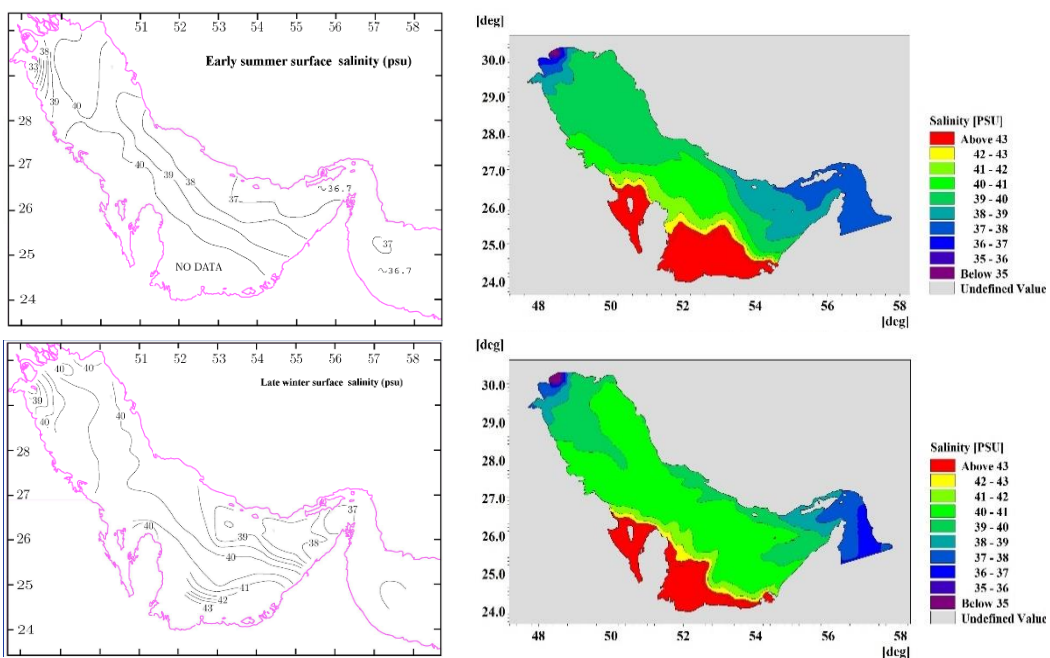
شکل (۵). تغییرات تراز سطح آب ناشی از جزر و مد

بررسی سرعت جریان در نقطه‌ای واقع در مرکز خلیج فارس نشان می‌دهد که در حضور جزر و مد تغییرات سرعت جریان حالتی نوسانی دارند و با تغییرات تراز سطح آب متناسب هستند. در حالی که بدون در نظر گرفتن جزر و مد مقادیر سرعت جریان به کمتر از 0.1 متر بر ثانیه رسیده و هیچ‌گونه روند تناوبی و منظمی را نشان نمی‌دهند شکل (۶). از آنجا که این تغییرات در اثر نیروهای باد و گرما-شوری صورت گرفته اند، پیش‌بینی آن‌ها به سادگی امکان‌پذیر نیست.



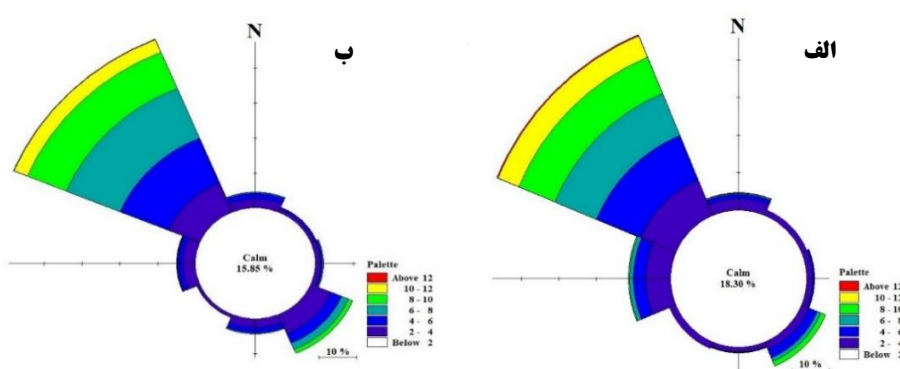
شکل (۶). تغییرات سرعت جریان در حضور و غیاب نیروی جزر و مد

به منظور صحت سنجی مدل، خروجی شوری مدل با نتایج اندازه‌گیری رینولوز مقایسه شده است که این نتایج مربوط به اواخر فصل زمستان و اوایل تابستان است. همان‌طور که نتایج نشان می‌دهد در فصل تابستان شوری خلیج فارس رو به کاهش می‌رود و در فصل زمستان مقادیر شوری بیشتر است. علت آن وجود تبخیر بالا در فصل زمستان نسبت به تابستان است که نتایج مطالعات قبلی (کمپف و صدری نسب، ۲۰۰۶؛ پاووس و همکاران، ۲۰۱۵) نیز آن را تأیید می‌کنند شکل (۷).



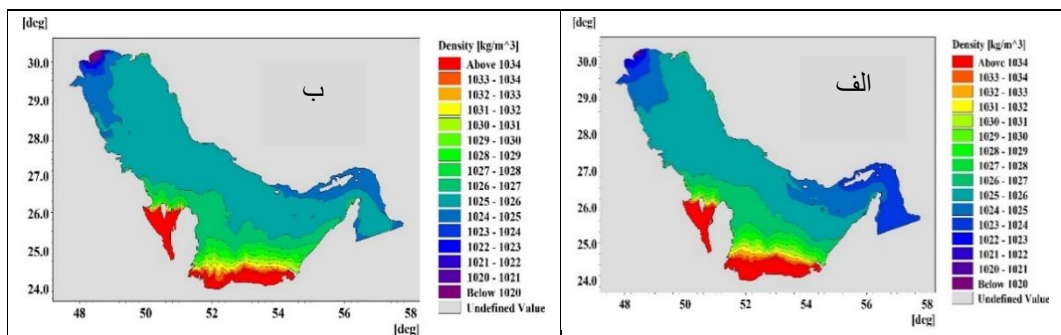
شکل(۷). مقایسه نتایج شوری سطحی مدل(سمت راست) با مقادیر اندازه‌گیری شده توسط رینولدز (سمت چپ) در اوایل تابستان (بالا) و اواخر زمستان (پایین)

در شکل(۸) گلباد نقطه‌ای واقع در مرکز خلیج فارس در دو فصل گرم و سرد رسم شده است. مقایسه سرعت و سمت باد در فصل‌های گرم و سرد نشان می‌دهد که در هر دو فصل باد غالب، بادی است که از سمت شمال غربی می‌وزد و در فصل گرم درصد بادهای آرام (سرعت $<2\text{m/s}$) $18/85$ ٪ است و در فصل سرد $15/85$ ٪ است یا به عبارتی در فصل سرد وزش باد در خلیج فارس شدیدتر است و این با مشاهدات میدانی توافق بسیار خوبی دارد. در ادامه اثرات وزش باد بر گردش جریان بررسی می‌شود.

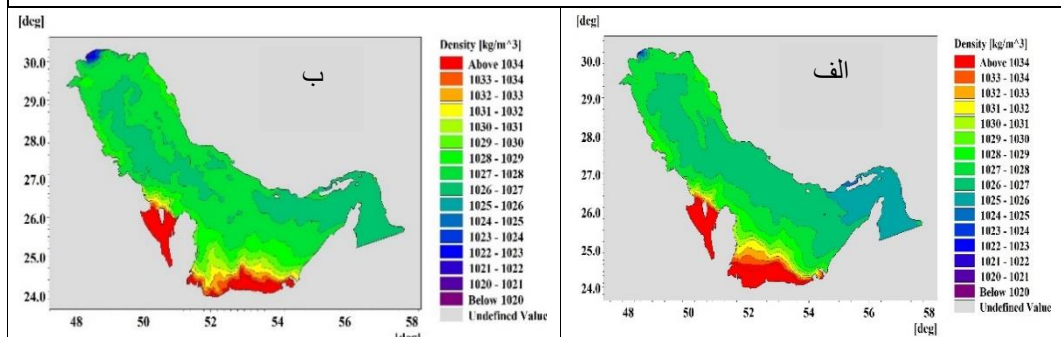


شکل(۸). گلباد نقطه‌ای واقع در مرکز خلیج فارس در (الف) فصل گرم و (ب) فصل سرد

در فصل گرم دمای سطحی آب به علت افزایش دمای هوا افزایش می‌یابد و از سویی شوری نیز در فصل تابستان کمتر است؛ بنابراین چگالی آب در فصل تابستان کمتر است. همچنین در حضور نیروی جزر و مد خطوط هم‌چگال هموارتر هستند و این ناشی از غالب بودن جریان جزر و مدی بر سایر نیروها است؛ در حالی که بدون اعمال جزر و مد این خطوط ناهموار هستند و به خصوص در فصل زمستان که وزش باد در مقایسه با تابستان شدیدتر است، به دلیل شکل‌گیری تلاطم ناشی از تنفس باد ناهمواری این خطوط بیشتر است اشکال (۹) و (۱۰). وزش بادهای غربی در زمستان از یک طرف منجر به افزایش تبخیر سطحی، کمک به جابجایی توده هوا مرطوب و متعاقب آن افزایش شوری آب و از طرف دیگر به عنوان یک نیروی تنشی مقاوم در برابر نفوذ آب از دریای عمان ظاهر می‌شود؛ از این‌رو انتظار می‌رود با کاهش دما و همچنین افزایش شوری، چگالی سطحی در فصل زمستان افزایش یابد.



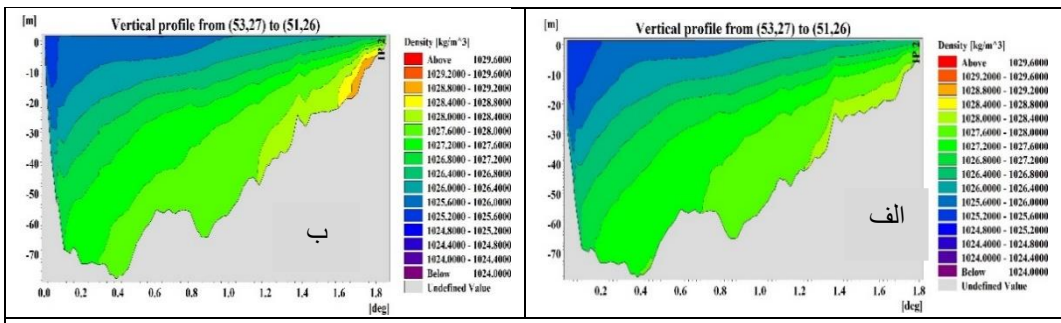
شکل (۹). توزیع چگالی در فصل گرم (الف) با اعمال جزر و مد و (ب) بدون در نظر گرفتن جزر و مد



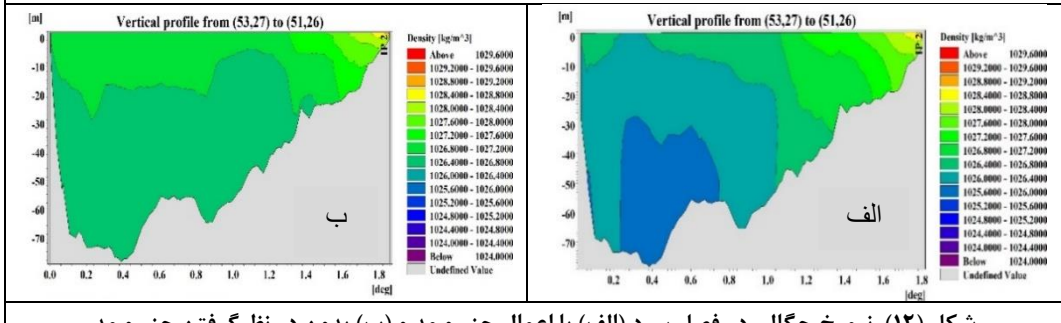
شکل (۱۰). توزیع چگالی در فصل سرد (الف) با اعمال جزر و مد و (ب) بدون در نظر گرفتن جزر و مد

به منظور بررسی اثرات جزر و مد بر نیمرخ چگالی، مقطعی عرضی در میانه خلیج فارس انتخاب گردید و نتایج در دو فصل گرم و سرد مقایسه گردید (مقطع عرضی در شکل (۱)). با توجه به خروجی‌های مدل مشاهده می‌شود که اثر جزر و مد بر نیمرخ چگالی، همانند توزیع سطحی چگالی محسوس و قابل توجه نیست. در فصل گرم با توجه به شکل‌گیری ترمولاین فصلی، چینه‌بندی تا حدودی وجود دارد و محیط بهنوعی چگال‌گرای ضعیف محسوب می‌شود شکل (۱۱). در فصل سرد با توجه به سردشدن لایه سطحی آب و سنگین شدن آن، ناپایداری چگالی مشاهده می‌شود و لایه سطحی به سمت پایین سقوط می‌کند و سبب اختلاط می‌شود؛ بنابراین سطوح هم‌چگال تقریباً به حالت قائم تبدیل شده و محیط شدیداً چگال‌گرا می‌شود. حذف اثر جزر و مد در این فصل

باعث شده، اختلاط قائم آب تقویت شده و ستون آب سریع‌تر همگن شود شکل (۱۲)، زیرا در این فصل با کاهش دمای هوا، لایه سطحی آب سرد و چگال‌تر می‌شود. از آنجاکه جریانات جزر و مدی، جریاناتی فشارگرا هستند و در راستای افقی حرکت دارند؛ با حذف آن‌ها، نیروهای شناوری غالب شده، جریانات در راستای قائم تقویت می‌شوند و باعث می‌شوند اختلاط ستون قائم آب سریع‌تر رخ دهد.

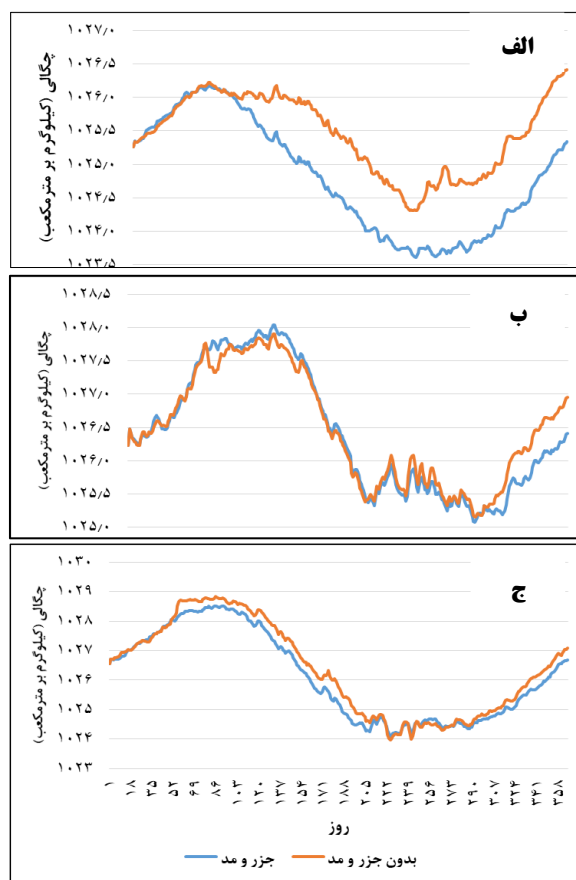


شکل (۱۱). نیمرخ چگالی در فصل گرم (الف) با اعمال جزر و مد و (ب) بدون در نظر گرفتن جزر و مد



شکل (۱۲). نیمرخ چگالی در فصل سرد (الف) با اعمال جزر و مد و (ب) بدون در نظر گرفتن جزر و مد

به منظور مقایسه کمی تغییرات چگالی، میانگین روزانه چگالی سه نقطه واقع در عمق یک متری و در نزدیکی تنگه هرمز، مرکز خلیج فارس و رأس خلیج فارس در حضور و غیاب جزر و مد با هم قیاس شد (نقاط شکل (۱۱)). مطابق انتظار چگالی در فصل تابستان دارای مقدار کمینه و در فصل زمستان دارای مقدار بیشینه است. در نقطه نزدیک به تنگه هرمز، تغییرات چگالی با شروع فصل بهار بین دو مدل محسوس بوده و اختلاف چگالی به حدود ۱ کیلوگرم بر مترمکعب می‌رسد. در این نقطه حذف جزر و مد، پس از سه ماه باعث افزایش چگالی شده است و احتمالاً جریان ورودی از دریای عمان که توسط موج جزر و مدی وارد خلیج فارس شده، عامل تعیین‌کننده چگالی در اطراف تنگه هرمز است. در نقطه میانی خلیج فارس، اثرات جزر و مد تا حدود ۹ ماه قابل مشاهده نیست و پس از گذشت ۹ ماه، حذف جزر و مد باعث افزایش چگالی در حدود ۵/۰ کیلوگرم بر مترمکعب شده است. در نقطه شمالی خلیج فارس نیز، اثرات حذف جزر و مد طی یک سال که مدل اجرا شده است، قابل ملاحظه نیست؛ هرچند اختلافات اندکی در برخی فصول وجود دارد. شکل (۱۳).



شکل(۱۳). مقایسه میانگین روزانه تغییرات چگالی طی یک سال در (الف) حوالی تنگه هرمز، (ب) وسط خلیج فارس و (ج) رأس خلیج فارس

در غیاب نیروی جزر و مد چگالی سواحل شمال غربی (در محدوده دهانه رودخانه ارونده) و سواحل حاشیه جنوبی خلیج فارس که مناطقی کم عمق به شمار می‌روند، کمتر است و این اختلاف در فصل زمستان در قیاس با تابستان محسوس‌تر است که علت آن، وجود پلوم رودخانه ارونده و همچنین وزش باد است. در غیاب نیروی جزر و مد، پلوم رودخانه در سواحل شمال غربی گسترش یافته و در فصل زمستان نیز وزش بادهای غربی باعث گسترش پیشتر این پلوم می‌شود. در مقابل، وجود نیروی جزر و مد بهنوعی در برابر ورود آب رودخانه مخالفت کرده و موجب افزایش چگالی در سواحل شمال غربی و تا حدودی سواحل عربی می‌شود. همچنین سرعت باد تأثیر زیادی در گسترش پلوم دارد تا جایی که این اختلاف در فصل تابستان و زمستان از طریق مساحت تحت پوشش پلوم رودخانه مشهود است. نتایج مدل‌سازی پاوس و همکاران در سال ۲۰۱۳ نیز نشان داد با وزش باد شمال‌غربی پلوم رودخانه ابتدا به سمت سواحل ایرانی متمايل گشته و سپس به سمت سواحل عربی می‌چرخد. با وزش باد شمالی و شمال شرقی، پلوم رودخانه مستقیم به سواحل عربی منحرف می‌شود و باد جنوب شرقی، پلوم رودخانه را در انتهای بخش شمالی خلیج فارس محبوس می‌کند.

علت عدم تشکیل محیط فشارگرا، ورود آب سبک از دریای عمان به خلیج فارس است که در شکل^(۹) مشاهده می‌شود. آب سبک و با چگالی کمتر از سمت سواحل ایرانی و از لایه‌های نزدیک به سطح وارد خلیج فارس می‌شود که با نتایج مطالعات قبلی در توافق است. اعمال جزر و مد بر مدل باعث می‌شود گرادیان قائم چگالی به طور نسبی افزایش پیدا کند. علت این افزایش نسبی می‌تواند به تسريع در روند گردش آب با اعمال نیروی جزر و مد ارتباط داشته باشد. علاوه بر این در غیاب جزر و مد، نقش تلاطم ناشی از تنفس باد پرنگ‌تر شده و می‌تواند تا حدودی باعث ایجاد اختلاط در سراسر ستون آب شود.

مدل‌های جهانی (Arbic^۱ و همکاران، ۲۰۱۰) و محلی (هرمن^۲ و همکاران، ۲۰۱۱) جزر و مد نشان می‌دهند که با در نظر گرفتن جزر و مد متوسط زمانی اختلاط قائم نسبت به شرایط بدون جزر و مد افزایش می‌یابد. به عنوان مثال نتایج مدل دو بعدی جزر و مدی چگال گرا در Oregon، اختلاط بیشتر و لایه‌بندی ضعیف‌تر را در لایه‌مرزی بستر را نشان می‌دهد (Kurapov^۴ و همکاران، ۲۰۱۱). در این مطالعه که اثرات جزر و مدی فشارگرا و چگال گرا به طور همزمان لحاظ شده بود، مشخص نبود که افزایش اختلاط در نتیجه‌ی فرآیندهای جزر و مدی فشارگرا و یا چگال گرا است. علاوه بر این چگونگی تعیین مشخصه‌های فلات قاره و اهمیت نسبی فرآیندهای جزر و مدی فشارگرا و چگال گرا بر روی اختلاط قائم ناشناخته مانده است.

خرنگی مدل‌های عددی محلی، مانند پیش‌بینی دمای آب، لایه‌بندی و جریانات، به بهبود تصمیم‌گیری در مبحث مدیریت سواحل کمک می‌کند (Drake^۵ و همکاران، ۲۰۱۱). مدل‌های محلی همچنین تفکیک‌پذیری افقی بالایی نسبت به عرض برخی نواحی فلات قاره دارند. مشاهدات نشان می‌دهد که تا فاصله ۵ کیلومتری از خط ساحل، مشخصه‌های جزر و مدی چگال گرا به طور قابل ملاحظه‌ای نسبت به ناحیه دور از ساحل تغییر می‌کنند (Suanda^۶ و همکاران، ۲۰۱۶)؛ بنابراین اگر نیروی جزر و مدی در مدل‌های عددی لحاظ شود، دینامیک جزر و مدی چگال گرا و اثر بالقوه آن روی اکوسیستم سواحل در ناحیه فلات قاره داخلی می‌تواند به اندازه نیاز شناخته شود.

نتیجه‌گیری

در این مطالعه گردش و ساختار چگالی با استفاده از مدل مایک^۳ بررسی گردید و توزیع قائم چگالی در حضور و غیاب نیروی جزر و مد مقایسه شد. گردش کلی خلیج فارس پاد ساعتگرد است و آب سبک از سمت سواحل ایرانی وارد خلیج فارس شده و پس از گردش کامل سنگین شده و از سمت سواحل عربی از خلیج فارس خارج می‌شود. نتایج نشان داد که خلیج فارس یک محیط چگال گرایی است و در فصل گرم، دارای چینه‌بندی ضعیف و در فصل سرد کاملاً مختلط است؛ بنابراین می‌توان نتیجه گرفت تغییرات سطوح هم‌چگال بیشتر تابع دما است. همچنین جزر و مد به عنوان یکی از نیروهای حاکم بر گردش در خلیج فارس دارای اثرات محسوسی بر توزیع سطحی چگالی به خصوص در مناطق شمال غربی خلیج فارس (سواحل خوزستان) به علت ورودی رودخانه است.

¹ Arbic

² Hermann

³ Kartadikaria

⁴ Kurapov

⁵ Drake

⁶ Suanda

این نیرو به عنوان یک نیروی مخالف در برابر شار ورودی رودخانه عمل کرده و مانعی در برابر گسترش پلوم رودخانه محسوب می‌شود. تنش باد نیز نیروی مهمی در گردش خلیج فارس به شمار می‌رود. وزش بادهای شمال‌غربی که در فصل زمستان با شدت بیشتری رخ می‌دهند، از یکسو با افزایش تبخیر، شوری و چگالی و از سوی دیگر به عنوان یک نیروی مخالف با ورود آب از دریای عمان، سبب می‌شود چگالی سطحی خلیج فارس در این فصل نسبت به تابستان اندکی بیشتر شود.

منابع

جوکار، محمد؛ لاری، کامران. (۱۳۹۵). بررسی جریان‌های کشنده با استفاده از مدل MIKE 21 و اندازه-گیری‌های میدانی و مدل جهانی FES در خلیج فارس، فصلنامه علمی – پژوهشی اطلاعات جغرافیایی (سپهر)، دوره ۲۵، شماره ۱۰۰: ۹۷-۱۱۰.

- Arbic, B. K., Wallcraft, A. J., Metzger, E. J. (2010). **Concurrent simulation of the eddying general circulation and tides in a global ocean model.** Ocean Modelling. 32(3), 175–187.
- Azizpour, J., Chegini, V., Khosravi, M., Einali, A. (2014). **Study of the Physical Oceanographic Properties of the Persian Gulf, Strait of Hormuz and Gulf of Oman Based on PG-GOOS CTD Measurements,** Journal of the Persian Gulf. Vol. 5, 12, 37-48.
- Burchard, H. (2009). **Combined effects of winds, Tide, and horizontal density gradients on stratification in estuaries and coastal seas.** American Meteorological Society, Volume 39, 2117-2136.
- Drake, P. T., Edwards, C. A., Barth, J. A. (2011). **Dispersion and connectivity estimates along the U.S. west coast from a realistic numerical model.** Journal of Marine Research. 69(1), 1-37.
- Egbert, G. D., Ray, R. D. (2001). **Estimates of M2 tidal energy dissipation from TOPEX/Poseidon altimeter data.** Journal of Geophysical Research. 106(C10), 22475–22502.
- Garrett, C., Kunze, E. (2007). **Internal tide generation in the deep ocean.** Annual Review of Fluid Mechanics. 39(1), 57–87.
- Hermann, A. J., Stabeno, P. J., Haidvogel, D. B., Musgrave, D. L. (2002). **A regional tidal/subtidal circulation model of the southeastern Bering Sea: Development, sensitivity analyses and hindcasting.** Deep Sea Research Part II: Topical Studies in Oceanography. 49(26), 5945–5967.
- Kampf, J., and M. Sadrinasab. (2006). **The circulation of the Persian Gulf: A numerical study.** Ocean Sci. 2, 1–15.
- Kartadikaria, A. R., Miyazawa, Y., Varlamov, S. M., Nadaoka, K. (2011). **Ocean circulation for the Indonesian seas driven by tides and atmospheric forcings: Comparison to observational data.** Journal of Geophysical Research. 116, C09009.
- Kurapov, A. L., D. Foley, P. T. Strub, G. D. Egbert, Allen, J.S. (2011). **Variational assimilation of satellite observations in a coastal ocean model off Oregon.** Journal of Geophysical Research. Vol. 116, C05000, 1-19.
- L’Hegaret, P., Carton, X., Louazel, S., Boutin, G. (2016). **Mesoscale eddies and submesoscale structures of Persian Gulf Water off the Omani coast in spring 2011,** Ocean Sci., 12, 687-701.
- Pous, S., Carton, X., Lazare, P. (2012). **A process study of the tidal circulation in the Persian Gulf.** Open J. Mar. Sci. 2 (4), 131–140.

- Pous, S., Carton, X., Lazure, P. (2013). **A Process study of the wind-induced circulation in the Persian Gulf.** Open J. Mar. Sci. 3 (1), 1–11.
- Pous, S., Lazre, P., Carton, X. (2015). **A model of the general circulation in the Persian Gulf and in the Strait of Hormuz: Intraseasonal to interannual variability.** Continental Shelf Research. 94, 55–70.
- Reynolds, R. M. (1993). **Physical oceanography of the Gulf, Strait of Hormuz and the Gulf of Oman—Results from the Mt. Mitchell expedition.** Mar. Pollut. Bull. 27, 35–59.
- Suanda, S. H., Kumar, N., Miller, A. J., Di Lorenzo, E., Haas, K., Cai, D., Edwards, C. A.,...Feddersen, F. (2016). **Wind relaxation and a coastal buoyant plume north of Pt. Conception, CA: Observations, simulations, and scalings.** Journal of Geophysical Research: Oceans. 121, 7455–7475.
- Swift, S. A., Bower, A. S. (2003). **Formation and circulation of dense water in the Persian Gulf,** Journal of geophysical research. 108(1), 3004, 1–22.
- Thoppil, P.G., Hogan, P.J. (2010). **A modeling study of circulation and eddies in the Persian Gulf.** J. Phys. Oceanogr. 40, 2122–2134.
- Yao, F., Johns, W.E. (2010). **A HYCOM modeling study of the Persian Gulf, Formation and export of Persian Gulf Water.** J. Geophys. Res. 115, C110.